



## Rapport de Compte rendu

### TP théorie de commande

Travail élaboré par  
**Daoud Aymen**  
**Dhaouadi Amira**

Travail encadré par  
**M.karim bouaffoura et M.Naceur belhadj Braiek**



Année Universitaire : 2021-2022

# Remerciements

Au terme de ce projet j'adresse mes remerciements à M.Naceur belhadj braiek et M.karim bouaffoura pour leur encadrement.

# Table des matières

<b>1</b>	<b>Introduction</b>	<b>4</b>
<b>2</b>	<b>Présentation du système étudié</b>	<b>4</b>
<b>3</b>	<b>Modèle mathématique du système</b>	<b>6</b>
3.1	Modèle mécanique du drone . . . . .	6
3.2	Les paramètres de modèle et ses valeurs . . . . .	9
3.3	Modélisation électro-mécanique des moteurs . . . . .	10
3.4	Fonction de Transfert en boucle ouvert . . . . .	12
<b>4</b>	<b>Simulation du modèle originel et du modèle simplifié</b>	<b>13</b>
4.1	Simulation sur Simulink par schéma de bloc originel . . . . .	13
4.2	Simulation sur Simulink par schéma de bloc simplifié . . . . .	13
<b>5</b>	<b>Commande PID (P, PI ou PID) du système et simulation du système commandé</b>	<b>14</b>
5.1	Fonction de transfert en boucle Fermé . . . . .	15
5.2	Gain critique . . . . .	15
5.3	Commande P . . . . .	17
5.4	Commande PD . . . . .	17
5.5	Commande PID . . . . .	18
<b>6</b>	<b>Analyse et commande du système dans l'espace d'état</b>	<b>20</b>
6.1	Répresentation d'état . . . . .	20
6.2	Stabilité . . . . .	21
6.3	Commandabilité . . . . .	22
6.4	Observabilité . . . . .	22
6.5	Commande par retour d'état . . . . .	22
<b>7</b>	<b>Commande numérique RST du système</b>	<b>27</b>
7.1	Modèle numérique . . . . .	27
7.2	Commande RST et simulation . . . . .	28
<b>8</b>	<b>Interprétation des différentes structures de commande</b>	<b>33</b>
<b>9</b>	<b>Conclusion</b>	<b>33</b>

# 1 Introduction

Les mini-drones sont des véhicules aériens de petite taille, sans pilote humain à bord de l'appareil. Ils furent initialement développés pour des besoins militaires afin d'accomplir des missions de surveillance, de renseignement ou de combat, avant d'être ensuite utilisés pour des applications civiles telles que la surveillance de mouvement de foule ou de trac routier. Il existe plusieurs variétés de mini-drones, mais presque tous ont les points communs suivants :

- ils sont petits ( $< 1$  m), légers ( $< 2$  kg) et peu onéreux ;
- ils peuvent accomplir de nombreuses tâches de manière autonome (effectuer un vol stationnaire, suivre une trajectoire prédéfinie, etc.) ;
- un pilote non-spécialiste peut les contrôler à travers des ordres de haut niveau (aller vers la gauche, monter d'une hauteur de 1 mètre, atterrir, faire demi-tour, etc.) ;
- ils doivent être capables de voler dans différents environnements : à l'intérieur ou à l'extérieur, en présence de vent, d'obstacles, etc. Une configuration de mini-drone en particulier a connu un succès grandissant depuis plus de 10 ans. Il s'agit d'un drone possédant 4 hélices, d'où son nom de quadrotor ou quadrirotor. Ce type de mini-drone est étudié dans de nombreuses universités ou écoles d'ingénieurs et est même vendu au grand public comme un jeu pour l'extérieur ou l'intérieur (un exemple est donné sur la figure 2). On considère dans la suite ce type de mini-drone qui a comme avantage, parmi d'autres, de pouvoir être modélisé et contrôlé automatiquement de manière relativement simple.

## 2 Présentation du système étudié

Un quadrirotor est constitué d'un corps principal mis en mouvement par 4 hélices entraînées chacune par un moteur électrique. Tous les composants électroniques du drone, dont les 4 moteurs, sont alimentés par une batterie Lithium Polymère. La carte électronique embarquée à bord du quadrirotor traite les informations des différents capteurs et élabore la commande des 4 variateurs des moteurs en fonction de la consigne à suivre, définie par l'utilisateur et transmise au drone par liaison Wi-Fi. Le drone est équipé de plusieurs capteurs, à fonctionnalités bien différentes : un capteur à ultrasons situé sous le drone et pointant vers le sol, un accéléromètre tri-axe (mesurant



FIGURE 1 – Prototype étudié dans ce projet

suivant trois directions orthogonales de l'espace), un gyromètre tri-axe, une antenne GPS, un magnétomètre tri-axe et deux caméras pointant l'une vers l'avant du drone et l'autre vers le sol.

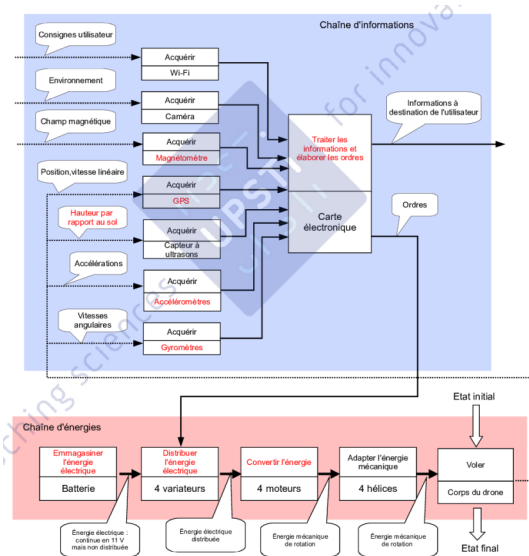


FIGURE 2 – Prototype étudié dans ce projet

Notre objectif dans ce mini-projet est d'étudier le cap de drone ,c'est a dire , modeliser mathematiquement le système et assurer son analyse et les differents types de commande .

### 3 Modèle mathématique du système

L'objectif de cette partie est de modéliser le quadrirotor en exploitant les équations de dynamique du drone et les équations électro-mécaniques des 4 moteurs. Ce modèle est indispensable pour concevoir les algorithmes de pilotage de haut niveau qui seront développés dans les parties suivantes.

#### 3.1 Modèle mécanique du drone

Un schéma simplifié du quadrirotor est donné sur la Figure 7. Les différents paramètres nécessaires pour la modélisation mécanique du drone sont décrits ci-après.

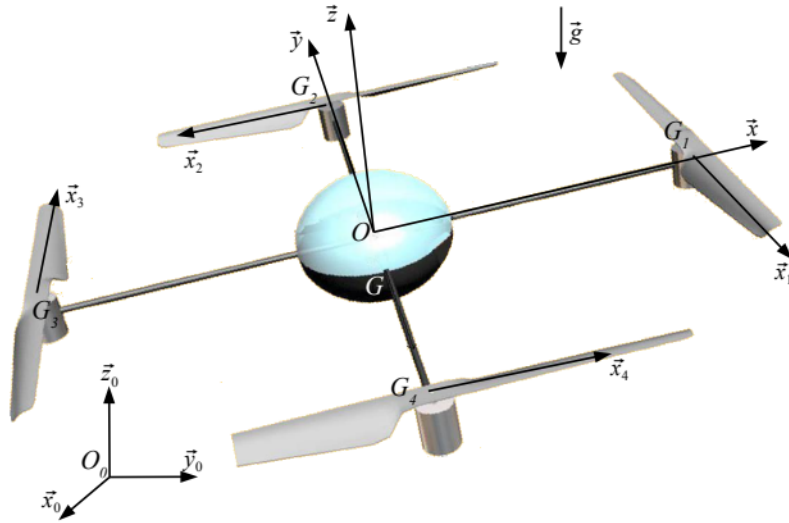


FIGURE 3 – Schéma simplifié du quadrirotor

•Le mouvement du corps S par rapport au sol S0 est donné par le torseur cinématique

$$\{\mathcal{V}(S_0/S)\} = \left\{ \begin{array}{c} \vec{\Omega}(S_0/S) \\ \vec{V}(G_0/S) \end{array} \right\}_G \quad \text{ou} \quad \vec{\Omega}(S_0/S) = p\vec{x} + q\vec{y} + r\vec{z} \quad \text{et} \quad \vec{V}(S_0/S) = u\vec{x} + v\vec{y} + w\vec{z}$$

• Chaque hélice est en liaison pivot d'axe  $(G_i, \vec{z})$  avec le corps du drone S. On pose  $\theta_i = (\vec{x}, \vec{x}_i) = (\vec{y}, \vec{y}_i)$  pour  $i \in 1, 2, 3, 4$ . On note alors  $\vec{\omega}_{S_i/S} = \epsilon_i \omega_i \vec{z}$  la vitesse angulaire de l'hélice  $S_i$  par rapport à S, avec  $\omega_i$  la vitesse angulaire strictement positive de chaque hélice et  $\epsilon_i = \pm 1$  en fonction du sens de rotation de chaque hélice (compte tenu du type de pas de l'hélice).

• La masse d'une hélice  $S_i$  est  $m_i = m$  (supposée identique pour les 4 hélices).

• La masse du corps S est notée  $m_s$ .

• les actions électromagnétiques intérieures aux moteurs produisant des couples sur chaque rotor lié à une hélice  $\vec{\Gamma}_{S_i/S} = \epsilon_i \Gamma_i \vec{z}$ , où le couple  $\Gamma_i$  est toujours positif.

• moment cinétique en  $G_i$  de  $S_i$  par rapport à  $S_0$

$$\vec{\sigma}(G_i, S_i/S_0) = \begin{cases} A_i p \cos^2 \theta_i + B_i p \sin^2 \theta_i + (A_i - B_i) q \sin \theta_i \cos \theta_i \\ A_i q \sin^2 \theta_i + B_i q \cos^2 \theta_i + (A_i - B_i) p \cos \theta_i \sin \theta_i \\ C_i (r + \epsilon_i \omega_i) \end{cases}$$

• Son moyenne temporelle sur une période  $T_i$

$$\langle \vec{\sigma}(G_i, S_i/S_0) \rangle = I_r p \vec{x} + I_r q \vec{y} + J_r (r + \epsilon_i \omega_i) \vec{z} \quad \text{avec} \quad I_r = \frac{A_i + B_i}{2} \quad \text{et} \quad J_r = C_i.$$

• En isolant quadrirotor en déduit 6 équations scalaires projetées sur la base du repère R :

$$I\dot{p} - Iqr + (Jr + Jr \sum_{i=1}^4 \epsilon_i \omega_i) q = al(\omega_2^2 - \omega_4^2)$$

$$I\dot{q} + Ipr - (Jr + Jr \sum_{i=1}^4 \epsilon_i \omega_i) p = al(\omega_3^2 - \omega_1^2)$$

$$J\dot{r} + Jr \sum_{i=1}^4 \epsilon_i \dot{\omega}_i = -b \sum_{i=1}^4 \epsilon_i \omega_i^2$$

$$\dot{u} - rv + rq = g_1$$

$$\dot{v} + ru + rp = g_2$$

$$\dot{w} - uq + vp = g_3 + \frac{a}{M} \sum_{i=1}^4 \omega_i^2$$

avec l'accélération de la pesanteur est :

$$\vec{a}(G, E/S_0) = \dot{u}\vec{x} + \dot{v}\vec{y} + \dot{w}\vec{z} + u(-q\vec{z} + r\vec{y}) + v(p\vec{z} - r\vec{x}) + r(-p\vec{y} + q\vec{x})$$

• En isolant chaque hélice  $i$  soumise à : l'action de l'air ,le pesantier, au couple de moteur  $\Gamma_i$  et l'action du liaison Pivot.  
Le théoreme du moment dynamique appliqué en  $G_i$  dans le référentiel galiléen en projection selon  $\vec{z}$  donne :

$$\vec{\delta}(G_i, S_i/S_0) \cdot \vec{z} = \varepsilon_i \Gamma_i + M_i$$

$$\text{Or } \vec{\delta}(G_i, S_i/S_0) \cdot \vec{z} = \frac{d}{dt}(\vec{\sigma}(G_i, S_i/S_0) \cdot \vec{z}) = J_r(\varepsilon_i \dot{\omega}_i + \dot{r})$$

$$\text{En effet, } (\vec{\sigma}(G_i, S_i/S_0) \cdot \frac{d\vec{z}}{dt}_{S_0} = 0)$$

$$\text{Ainsi } J_r(\varepsilon_i \dot{\omega}_i + \dot{r}) = \varepsilon_i \Gamma_i - b \varepsilon_i \omega_i^2$$

⇒ Ces équations scalaires définies aux deux questions précédentes modélisent le comportement du drone. Ces équations étant **non-linéaires**, il est souhaitable de les linéariser afin de simplifier l'élaboration des lois de contrôle du drone.

. Cette approximation est justifiée par le fait que l'on s'intéresse dans cette étude à un comportement du quadrirotor proche d'un vol stationnaire. En pratique, la **linéarisation** de ces équations donne des résultats expérimentaux très satisfaisants même lorsque le drone se déplace à une vitesse raisonnable. Pour cela, on suppose donc par la suite que l'on se place autour de la configuration de vol stationnaire et que

•  $\omega = \bar{\omega} + \tilde{\omega}_i$  est la variation de vitesse angulaire autour du point d'équilibre  $\bar{\omega}$ ,  $\frac{\tilde{\omega}_i}{\bar{\omega}}$  étant un infiniment petit d'ordre 1 (positif ou négatif).

• On pose de la même manière que pour les vitesses de rotation des hélices :  $\Gamma_i = \bar{\Gamma}_i + \tilde{\Gamma}_i$ , où  $\tilde{\Gamma}_i$  est la variation de couple moteur (infiniment petit d'ordre 1 devant  $\Gamma_i$ ) autour de  $\Gamma_i$ , couple moteur nécessaire pour assurer le vol stationnaire et autour duquel se fait la linéarisation des équations.

• les quantités  $u, v, w, p, q, r$  sont faibles et considérées comme des infiniment petits d'ordre 1 (devant la vitesse des pales)

Afin de caractériser l'orientation du drone dans l'espace, une paramétrisation usuelle est l'utilisation des angles où  $\psi$  est appelé l'angle de lacet,  $\theta$  l'angle de roulis et  $\varphi$  l'angle de tangage tel que :

$$u = \cos(\bar{\psi})\dot{x} + \sin(\bar{\psi})\dot{y}$$

$$v = -\sin(\bar{\psi})\dot{x} + \cos(\bar{\psi})\dot{y}$$

$$w = \dot{z}$$



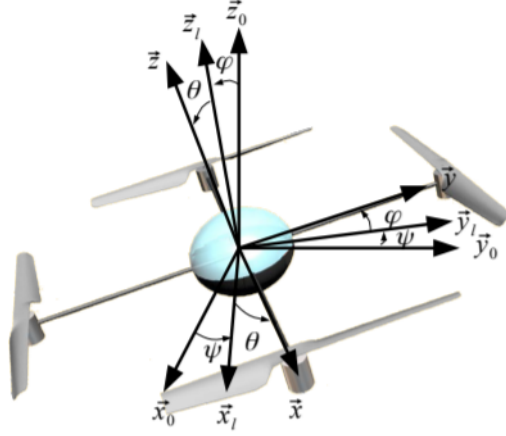


FIGURE 4 – Paramétrisation de l'orientation du drone dans l'espace

En soustrayant les équations de chaque hélice  $S_i$

$$(J - 4Jr)\dot{r} = - \sum_{i=1}^4 \epsilon_i (Jr\dot{\omega} + 2b\bar{w}\tilde{w}_i) \quad (1)$$

### 3.2 Les paramètres de modele et ses valeurs

$$Rm = 0.6V$$

$$\omega = 375rad.s^{-1}$$

$$U = 6V$$

$$K_m = 10^{-2}$$

$$L_m = 4010^{-6}$$

$$b = 0.00317410^{-4}$$

$$Jr = 3.410^{-5}kg.m^2s^{-1})$$

$$J = 1kg.m^2s^{-1}$$

### 3.3 Modélisation électro-mécanique des moteurs

Pour trouver cette équation :  $(J - 4J_r) = -\sum_{i=1}^4 \epsilon_i (J_r \dot{\omega} + 2b\bar{\omega} \omega_i)$

En soustrayant les équations de chaque hélice  $S_i$  de l'équation de moment suivant z ,il vient :

$$(J - 4J_r)\dot{r} = - \sum_{i=1}^4 \epsilon_i \Gamma_i$$

De même ,en soustrayant les équations d'hélice 3 et 1 ,on obtient :

$$J_r(\dot{\omega}_3 - \dot{\omega}_1) = \Gamma_3 - \Gamma_1 - 2b^-(\omega_3 - \omega_1)$$

et de même ,en soustrayant les équations d'hélice 4 et 2 ,on obtient :

$$J_r(\dot{\omega}_2 - \dot{\omega}_4) = \Gamma_2 - \Gamma_4 - 2b\bar{\omega}(\omega_2 - \omega_4)$$

En additionnant les équations d'hélice de 3 et 1 et l'hélice 4 et 2 ,on obtient :

$$J_r \sum_{i=1}^4 \omega_i = \sum_{i=1}^4 \Gamma_i 2b\bar{\omega} \sum_{i=1}^4 \omega_i$$

on multiplie cette equation par  $\epsilon_i$  et on remplace  $\sum_{i=1}^4 \epsilon_i \Gamma_i$  par son expression dans (\*) ,on obtient :

$$(J - 4J_r)\dot{r} = - \sum \epsilon (J_r \dot{\omega}_i + 2b\bar{\omega} \omega_i)$$

Les équations qui caractérisent le mouvement de lacet sont :

$$\begin{aligned} \dot{\psi} &= r \\ (J - 4J_r)\dot{r} &= - \sum_{i=1}^4 \epsilon_i (J_r \dot{\omega}_i + 2b\bar{\omega} \omega_i) \\ J_r \dot{\omega}_i &= (\tilde{u}_i - K_m \tilde{\omega}_i) \frac{K_m}{R_m} - 2b\bar{\omega} \omega_i \end{aligned}$$

On a déjà montré :

$$(J - 4J_r)\dot{r} = - \sum \epsilon (J_r \dot{\omega}_i + 2b\bar{\omega} \omega_i)$$

or on a :

$$\omega = \sum \epsilon \omega_i$$

donc

$$(J - 4J_r)\dot{r} = -J_r\dot{\omega} - 2b\bar{\omega}\omega(eq1)$$

Chaque hélice est montée directement sur le rotor d'un petit moteur à courant continu dont les caractéristiques sont données en annexe. Tous les moteurs sont supposés identiques. Les équations simplifiées qui caractérisent le comportement dynamique et électrique des moteurs sont les suivantes d'après une étude sur le moteur du drone , on trouve le système d'équation :

$$\begin{aligned} u &= R_m I + L_m \frac{dI}{dt} + K_m \omega \\ \Gamma &= K_m I \\ J_r \dot{\omega} &= \Gamma - b\omega^2 \end{aligned}$$

où  $i$  est la vitesse angulaire de l'hélice,  $u_i$  la tension d'alimentation du moteur,  $\Gamma_{i\text{lecouplemoteur}}$ ,  $R_m$  la résistance interne,  $L_m$  l'inductance et  $K_m$  la constante de couple ( $J_r$  et  $b$  sont des constantes caractérisant.

En linéarisant les equations autour d'un point stationnaire :

$$\begin{aligned} u &= \frac{R_m}{K_m} \Gamma + \frac{L_m}{K_m} \dot{\Gamma} + K_m \omega(eq2) \\ \Gamma &= J_r \dot{\omega} + 2b\bar{\omega}\omega(eq3) \end{aligned}$$

On remplace (eq 3) trouvé dans (eq 2) , on obtient :

$$J_r \dot{\omega} + \frac{K_m}{R_m} \omega + 2b\bar{\omega}\omega = \frac{K_m}{R_m} u$$

On détermine maintenant les transformation de laplace des expression trouvées :

$$\begin{aligned} (J - 4J_r)s\omega &= -(J_r s + 2b\bar{\omega})\omega(eq4) \\ J_r s + \frac{K_m}{R_m} + 2b\bar{\omega} &= \frac{K_m}{R_m} U \\ \Rightarrow \omega &= \frac{K_m}{R_m} \frac{1}{J_r s + \frac{K_m}{R_m} + 2b\bar{\omega}} U \end{aligned}$$

et on a :

$$r = p\psi$$

On remplace w et r dans (eq 4) , on trouve la fonction de transfert :

$$H(s) = \frac{\psi}{U} = \frac{K_0(1 + \tau_1 s)}{s^2(1 + \tau_2 s)}$$

avec

$$K_0 = \frac{K_m}{R_m(J - 4J_r)} \frac{2b\bar{\omega}}{\frac{K_m^2}{R_m} + 2b\bar{\omega}}$$

$$\tau_1 = \frac{J_r}{2b\bar{\omega}}$$

$$\tau_2 = \frac{J_r}{\frac{K_m^2}{R_m} + 2b\bar{\omega}}$$

NB : On a trouvé un système linéaire , on n ' a pas besoin de faire la linéarisation autour d'un point d'équilibre et simplifier le modèle

### 3.4 Fonction de Transfert en boucle ouvert

$$H(s) = \frac{K_0(1 + \tau_1 s)}{s^2(1 + \tau_2 s)}$$

avec :

$$\tau_1 = 0.1428$$

$$\tau_2 = 0.084$$

$$K_0 = 0.023$$

## 4 Simulation du modèle originel et du modèle simplifié

### 4.1 Simulation sur Simulink par schéma de bloc originel

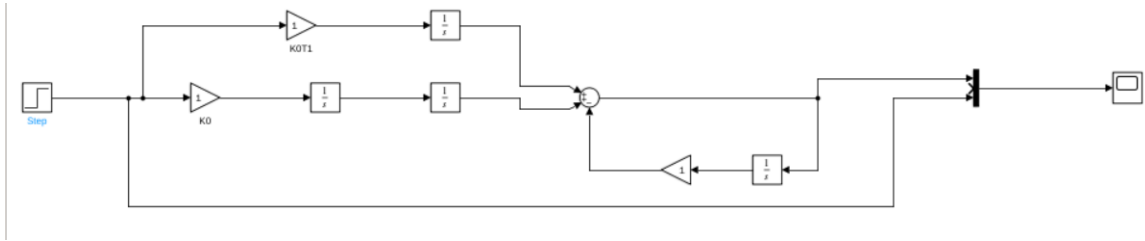


FIGURE 5 – Schéma de Bloc priginel

### 4.2 Simulation sur Simulink par schéma de bloc simplifié

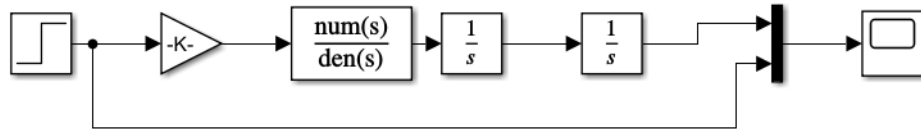


FIGURE 6 – Schéma de Bloc simplifié

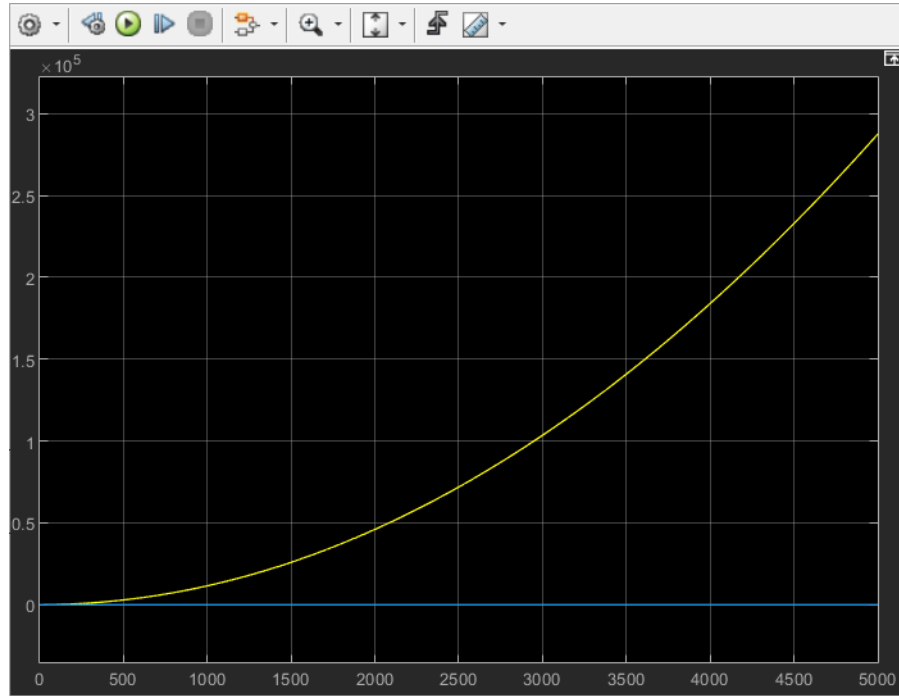


FIGURE 7 – Réponse des deux système entre 0 et 10s

⇒ Le système est instable en boucle fermé

## 5 Commande PID (P, PI ou PID) du système et simulation du système commandé

L'objectif de cette partie est de contrôler l'assiette du quadrirotor, c'est-à-dire de contrôler l'angle de roulis  $\theta$  et l'angle de tangage  $\varphi$  du drone. En particulier, on souhaite pouvoir stabiliser le quadrirotor à l'horizontale pour obtenir un vol stationnaire, c'est-à-dire atteindre un angle de roulis de référence  $\theta_{ref}$  et angle de tangage de référence  $\varphi_{ref}$  de  $0^\circ$ . Pour ce faire, seules les mesures inertielles sont exploitées

## 5.1 Fonction de transfert en boucle Fermé

$$H_{BF} = \frac{H_{BO}}{1 + H_{BO}}$$

$$= \frac{\frac{K_0}{\tau_2}(1 + \tau_1 s)}{s^3 + \frac{s^2}{\tau_1} + \frac{\tau_1 K_0 s}{\tau_2} + \frac{K_0}{\tau_2}}$$

avec :

$$\tau_1 = 0.1428$$

$$\tau_2 = 0.084$$

$$K_0 = 0.023$$

$$H_{BF} = \frac{0.27(1 + 0.1428s)}{s^3 + 7s^2 + 0.04s + 0.2738}$$

## 5.2 Gain critique

Pour préregler un système bouclé suivant la méthode Ziegler-Nichols Ziegler : Nichols ont proposé deux approches expérimentales destinées à fixer rapidement les paramètres des régulateurs P, PI et PID. La première nécessite l'enregistrement de la réponse indicielle du système à régler, alors que la deuxième exige d'amener le système en boucle fermée à sa limite de stabilité. , Alors ,il faut tout d'abord déterminer le gain et temps critique. Régler  $K_i = K_d = 0$  puis on va Trouver  $K_p$  qui met le système en oscillation. Voici le schéma simulink utilisé pour trouver le gain et la periode critique :

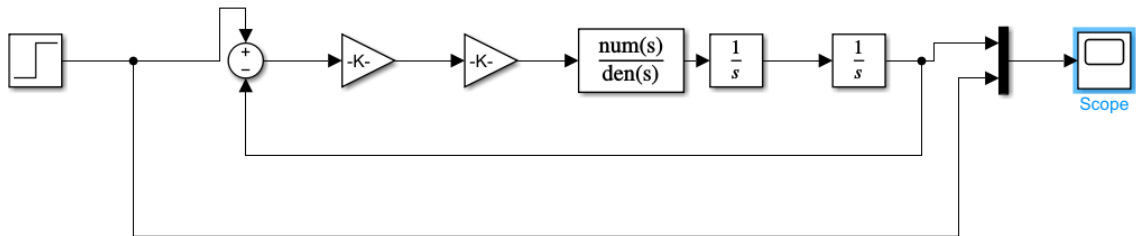


FIGURE 8 – Schéma de système en boucle fermé

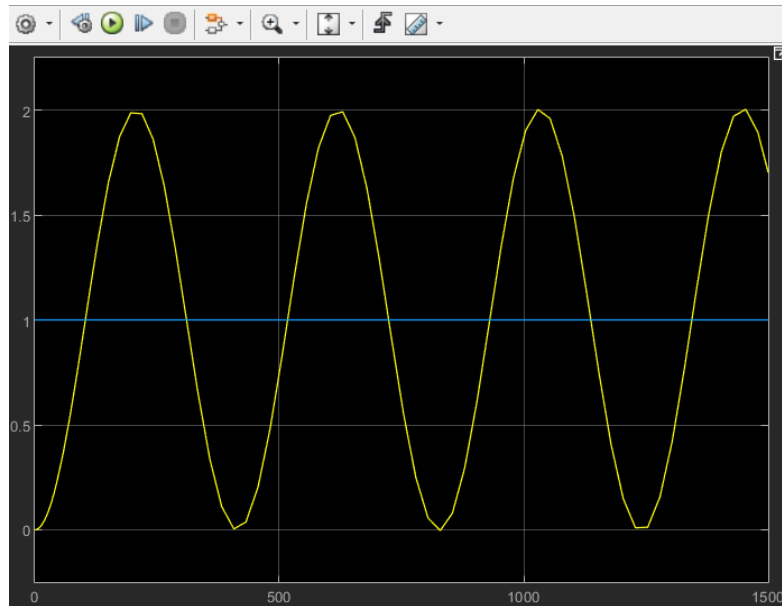


FIGURE 9 – Réponse de système en Gain critique

On a trouvé alors :

$$K_u = 0.01$$

$$T_u = 500s$$

on utilise ce tableau pour déterminer les paramètres des correcteurs : P , PD , PID :

Méthode de Ziegler-Nichols <sup>1</sup>					
Type de contrôle	$K_p$	$T_i$	$T_d$	$K_i$	$K_d$
$P$	$0.5K_u$	-	-	-	-
$PI$	$0.45K_u$	$T_u/1.2$	-	$0.54K_u/T_u$	-
$PD$	$0.8K_u$	-	$T_u/8$	-	$K_u T_u/10$
$PID$ <sup>2</sup>	$0.6K_u$	$T_u/2$	$T_u/8$	$1.2K_u/T_u$	$3K_u T_u/40$

FIGURE 10 – Tableau de Ziegler-Nicholes



### 5.3 Commande P

D'après le tableau Ziegler-Nichols :

$$K_p = 0.5K_u$$

A.N :

$$K_p = 0.005$$

### 5.4 Commande PD

D'après le tableau Ziegler-Nichols :

$$K_p = 0.8K_u$$

$$K_d = \frac{T_u K_u}{10}$$

A.N :

$$K_p = 0.008$$

$$K_d = 0.5$$

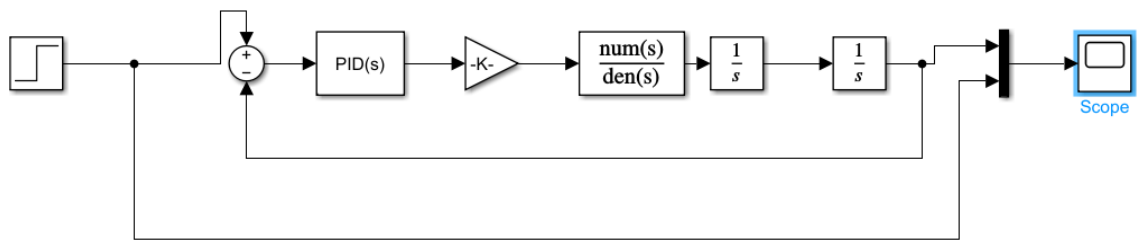


FIGURE 11 – Schéma de correcteur PD

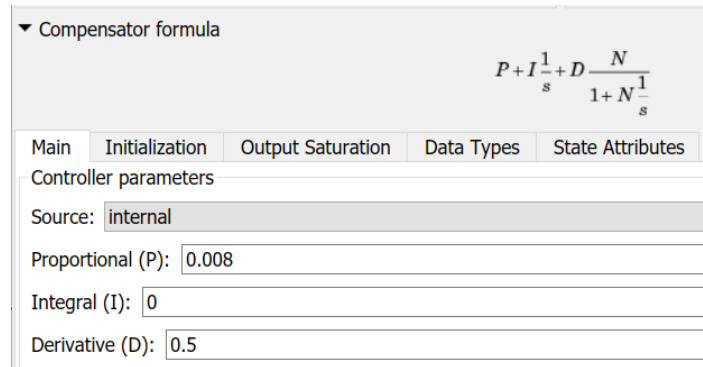


FIGURE 12 – paramètre correcteur PD

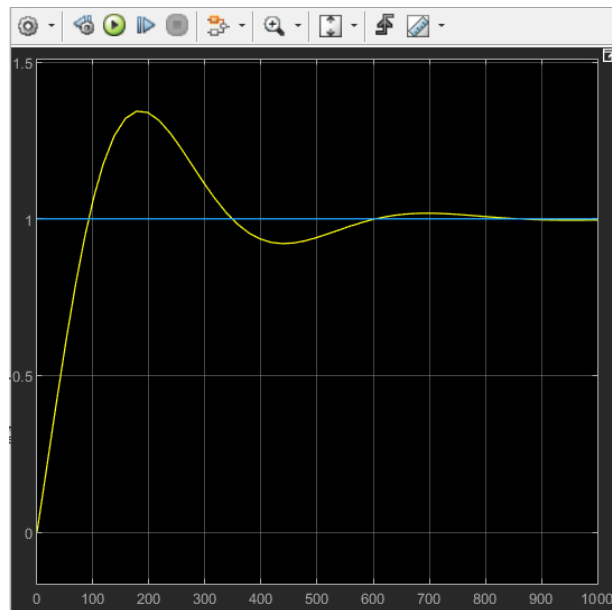


FIGURE 13 – reponse de correcteur de PD

## 5.5 Commande PID

Finalement nous allons utiliser un correcteur proportionnel, intégral et dérivé, de la forme suivante : D'après le tableau Ziegler-Nichols :

$$K_p = 0.6K_u$$

A.N :

$$K_i = \frac{1.2K_u}{T_u}$$

$$K_d = \frac{3K_uT_u}{40}$$

$$K_p = 0.006$$

$$K_i = 0.000024$$

$$K_d = 0.375$$

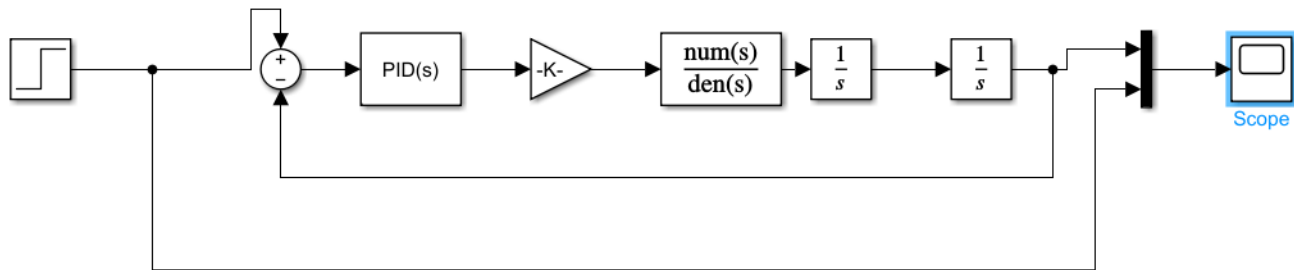


FIGURE 14 – Schéma de correcteur PID

▼ Compensator formula

$$P + I \frac{1}{s} + D \frac{N}{1 + N \frac{1}{s}}$$

Main

Initialization

Output Saturation

Data Types

State Attributes

Controller parameters

Source: internal

Proportional (P): 0.006

Integral (I): 0.000024

Derivative (D): 0.375

FIGURE 15 – Schéma de paramètre de correcteur PID

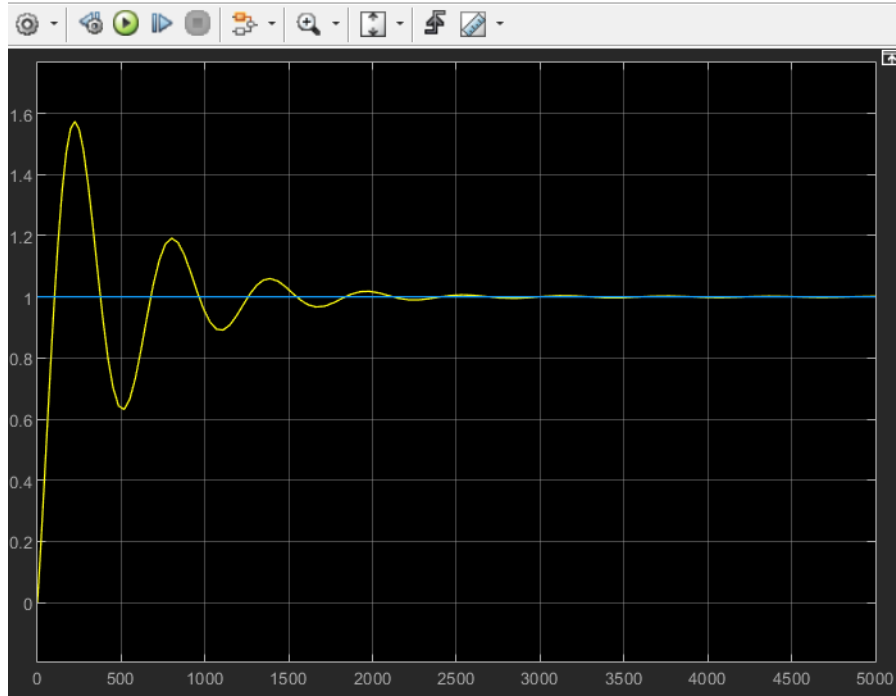


FIGURE 16 – Réponse du correcteur PID

NB : On a remarqué que notre système possède deux integrateur , donc on n'a pas besoin de correcteur PI.

## 6 Analyse et commande du système dans l'espace d'état

### 6.1 Représentation d'état

On a :

$$H_{BF} = \frac{0.27(1 + 0.1428s)}{s^3 + 7s^2 + 0.04s + 0.2738}$$

la fonction d'état est :

$$\begin{aligned}\dot{X} &= AX + B\psi_{ref} \\ \psi &= CX\end{aligned}$$

Le modèle commandable :  $A = \begin{pmatrix} 0 & 1 & 0 \\ 0 & 0 & 1 \\ -0.2738 & -0.04 & -7 \end{pmatrix}$ ,  $B = \begin{pmatrix} 0 \\ 0 \\ 1 \end{pmatrix}$

$$C = (0.27 \quad 0.04 \quad 0)$$

Le modèle modal :  $A = \begin{pmatrix} -0.000063216 & 0.197775 & 0 \\ -0.197775 & -0.000063216 & 1 \\ 0 & 0 & -6.999878 \end{pmatrix}$ ,  
 $B = \begin{pmatrix} 2 \\ 0 \\ 1 \end{pmatrix}$   
 $C = (0.73 \quad -0.04 \quad 0.023)$

## 6.2 Stabilité

On calcul les poles de système : Dénominateur :

$$s^3 + 7s^2 + 0.04s + 0.2738$$

$$s_1 = -6.999878$$

$$s_2 = -0.000063216 - 0.197775i$$

$$s_3 = -0.000063216 + 0.197775i$$

ou bien , on peut deteminer les valeurs propres de A :

$$\det(\lambda I - A) = \begin{vmatrix} \lambda & -1 & 0 \\ 0 & \lambda & -1 \\ 0.2738 & 0.04 & \lambda + 7 \end{vmatrix}$$

Les poles sont :

$$\lambda_1 = -6.999878$$

$$\lambda_2 = -0.000063216 - 0.197775i$$

$$\lambda_3 = -0.000063216 + 0.197775i$$

Les poles sont a partie réelle negative ,donc le système est stable

### 6.3 Commandabilité

On étudie alors la commandabilité :  $C_1 = (B \quad AB \quad A^2B) = \begin{pmatrix} 0 & 0 & 1 \\ 0 & 1 & -7 \\ 1 & -7 & 48.96 \end{pmatrix}$

$$\det(C_1) = 1 \neq 0$$

donc le système cap de drone est Commandable.

### 6.4 Observabilité

On peut aussi étudier l'observabilité :  $O = \begin{pmatrix} C \\ CA \\ CA^2 \end{pmatrix}$

=

$$= \begin{pmatrix} 0.27 & 0.04 & 0 \\ 0 & 0.27 & 0.04 \\ -0.010952 & -0.0016 & -0.01 \end{pmatrix}$$

$$\det(O) = -0.000729243 \neq 0$$

Donc notre système est observable.

### 6.5 Commande par retour d'état

la fonction d'état est :

$$\dot{X} = AX + B\psi_{ref}$$

$$\psi = CX$$

Soit  $\phi_{ref}$  une consigne(angle de référence) la loi du commande est :  $U = KX + N\phi_{ref}$

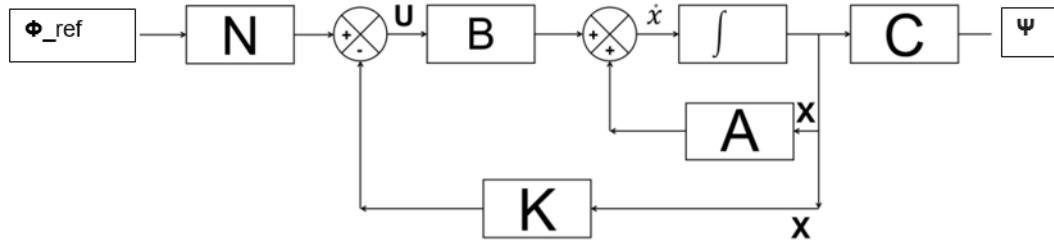


FIGURE 17 – Schéma de système avec retour d'état

Le systeme muni de la commande s'écrit

$$\dot{X} = (A - BK)X + BN\phi_{ref}$$

La matrice en B.F est :

$$A_f = A - BK$$

avec  $K = [k_1 \ k_2 \ k_3]$

$$P(\lambda) = \det(\lambda I(A - BK))$$

Nous allons utiliser la fonction tf2ss (qui sert à convertir une fonction de transfert à entrée unique en temps continu ou en temps discret en une représentation d'espace d'états équivalente), cette fonction prend comme paramètres les vecteur qui représentent le numérateur et le dénominateur de la fonction de transfert et nous donne comme sortie les A , B ,C et D les paramètres de la fonction d'état.

$$A = \begin{pmatrix} -11.9048 & 0 & 0 \\ 1 & 0 & 0 \\ 0 & 1 & 0 \end{pmatrix}$$

$$B = \begin{pmatrix} 1 \\ 0 \\ 0 \end{pmatrix}$$

$$C = (0 \ 0.0391 \ 0.2738)$$

$$D = (0)$$

Code :

```
b = [0.0032844 0.023] ;
a = [0.084 1 0 0];
[A,B,C,D]=tf2ss(b,a)
ob=obsv(A,C)
Ct=ctrb(A,B)
a1=rank(ob)
b1=rank(Ct)
```

A =

```
-11.9048      0      0
  1.0000      0      0
      0      1.0000      0
```

B =

```
1
0
0
```

C =

```
      0      0.0391      0.2738
```

D =

*fx* 0



```

ob =

      0      0.0391      0.2738
      0.0391      0.2738      0
     -0.1917      0      0

Ct =

      1.0000     -11.9048     141.7234
      0         1.0000     -11.9048
      0          0         1.0000

a1 =

      3

b1 =

      3

```

Pour déterminer le vecteur K nous allons utiliser la méthode place pr´ed´efini dans matlab. Elle prend comme paramètre A , B et un vecteur noté BF-Poles qui présentent le poles du polynome caracteristique. la résultat est :

$$K = (-4.9048 \quad 0.04 \quad 0.2738)$$

```

BF_poles = [-6.99987 -0.00006321+0.197775j -0.00006321-0.197775j]
K = place(A,B,BF_poles)
BF_poles =

```

```

-6.9999 + 0.0000i  -0.0001 + 0.1978i  -0.0001 - 0.1978i

```

```

K =

```

```

-4.9048      0.0400      0.2738

```

Le gain de précompensation N permettant de garantir au système un gain statique unitaire est donnée par :

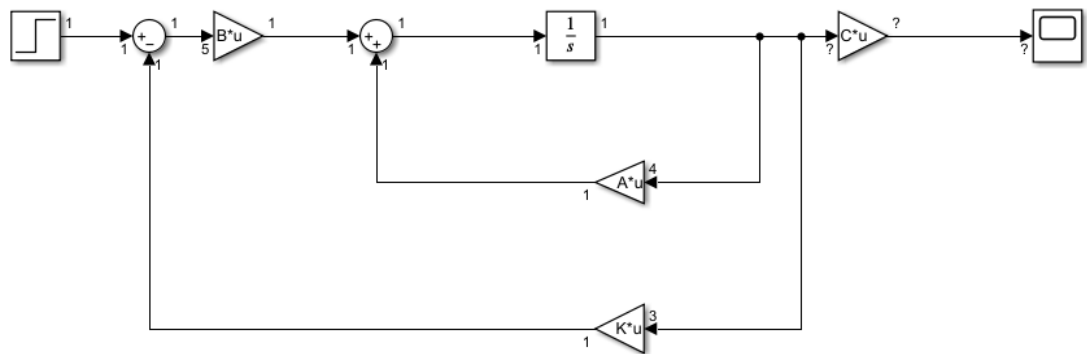
$$N = -1 \cdot \text{inv}(C \cdot \text{inv}(A - B \cdot K) \cdot B)$$

N =

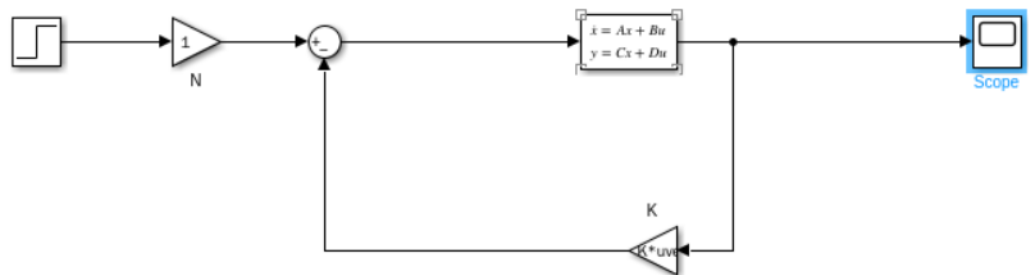
1.0000

*fx* >>

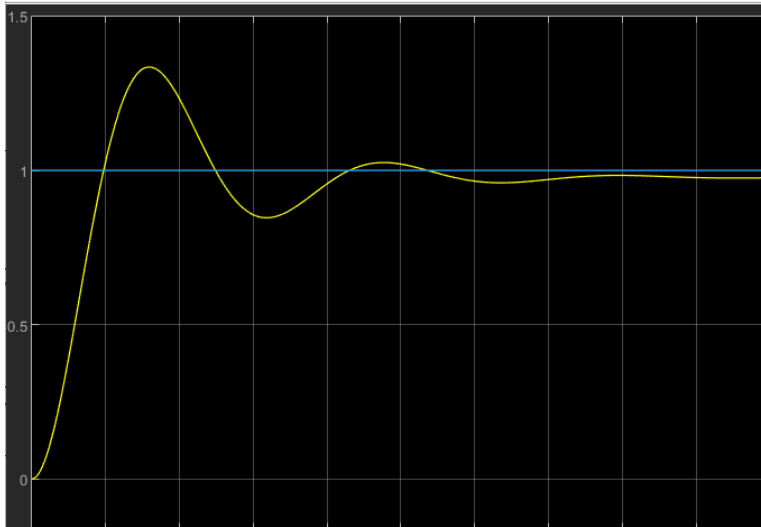
Simulation



ou bien d'une manière plus simplifiée :

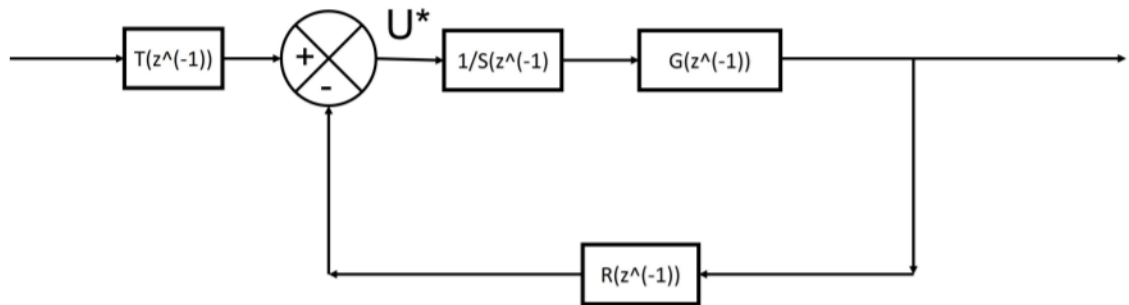


Le résultat :



## 7 Commande numérique RST du système

Le schéma de la commande RST est le suivant :



### 7.1 Modèle numérique

On va déterminer le transformé en Z de la fonction de transfert en boucle fermé :  $H(p)$  en utilisant le matlab (avec  $T_e = 1$ ) est

$$H_{BF} = \frac{0.27(1 + 0.1428s)}{s^3 + 7s^2 + 0.04s + 0.2738}$$

```

1 - H = tf([0.038556 0.023],[0.084 1 0 0 0]);
2 - s = tf([1 -1],[1 0], 1);
3 - hd = c2d(H,1)
4 - hd2 = hd*s
5
6
hd2 =

0.01933 z^4 + 0.001383 z^3 - 0.03749 z^2 + 0.01652 z + 0.0002583
-----
z^5 - 3 z^4 + 3 z^3 - z^2 + 6.758e-06 z

Sample time: 1 seconds
Discrete-time transfer function.

```

Alors  $G(z^{-1}) = z^{-1} \frac{0.0002583z^{-4} + 0.01652z^{-3} + 0.03749z^{-2} + 0.001383z^{-1} + 0.01933}{1 - 3z^{-1} + 3z^{-2} - z^{-3} + 6.758 \times 10^{-6}z^{-4}}$

## 7.2 Commande RST et simulation

Dans cette sous partie ,on va determiner les polynomes :

$$R(z^{-1})$$

$$S(z^{-1})$$

Le polynome caracteristique :

$$P(z^{-1}) = A(z^{-1})S(z^{-1}) + z^{-d}B(z^{-1})R(z^{-1})$$

$$\text{avec : } d = 1, n_A = 4, n_B = 5$$

D'après le theoreme de Bizout les degrés des polynomes sont :

$$n_p < n_A + n_B + d - 1 = 4 + 4 + 1 - 1 = 8$$

$$n_S = n_B + d - 1 = 4 + 1 - 1 = 4$$

$$n_R = n_A - 1 = 4 - 1 = 3$$

prenant :

$$P(z^{-1}) = 1 + p_1z^{-1} + p_2z^{-2}$$

avec :

$$\zeta = \frac{\sqrt{2}}{2}$$

$$\omega_n = 3\text{rads}^{-1}$$

On a donc :

$$p_1 = \exp -\omega_n \exp i\omega_n \sqrt{1 - \zeta^2}$$

$$p_2 = \exp -\omega_n \exp -i\omega_n \sqrt{1 - \zeta^2}$$

d'ou :

$$P(z^{-1}) = 1 - 0.136z^{-1} + 0.015z^{-2}$$

$$S(z^{-1}) = 1 + s_1z^{-1} + s_2z^{-2} + s_3z^{-3} + s_4z^{-4}$$

$$R(z^{-1}) = r_0 + r_1z^{-1} + r_2z^{-2} + r_3z^{-3}$$

$$P(z^{-1}) = A(z^{-1})S(z^{-1}) + z^{-d}B(z^{-1})R(z^{-1})$$

On pose l'écriture matriciel suivante :

$$AX = B$$

avec :

$$X = \begin{pmatrix} 1 \\ s_1 \\ s_2 \\ s_3 \\ s_4 \\ r_0 \\ r_1 \\ r_2 \\ r_3 \end{pmatrix}$$

Tout calcul fait avec ce code :

```

AA=[1,0,0,0,0,0.01933,0,0,0;
    -3,-1,0,0,0,0,0,0,0;
    3,-3,1,0,0,0.020668,0,0,0;
    -2,3,-3,1,0,0.0374,0.001338,0.01933,0;
    0.000006758,-2,3,1,0.01652,0.0374,0.001338,0.01933,0;
    0.000006788,0,-2,3,-3,0.0002583,0.01652,0.0374,0.001338;
    0,0,0.000006758,-2,3,0,0.0002583,0.016,0.03749;
    0,0,0,0.000006758,-2,0,0.01652,0.01652,0;
    0,0,0,0,0.000006758,0,0,0,0.0002583]
Y=[-0.136 0.015 0 0 0 0 0 0 ];
A=[1,-3,3,0.0000006578] ;
B=[0.01933 0.001338 0.03479 0.01652 0.0002583 ];
P=poly(Y)
P=transpose(P)
P(6)=0;
X=inv(AA)*P
S=[X(1) X(2) X(3) X(4)]
R=[X(5) X(6) X(7) X(8)]
T=6.62*transpose(P)*0.7

```

Le résultat :

$$X = \begin{pmatrix} 1 \\ 0.0004 \\ 0.0003 \\ 0.0072 \\ 0.0079 \\ 0.0601 \\ 1.5755 \\ -0.6165 \\ -0.0002 \end{pmatrix}$$

L'exécution :

```

1.0e+03 *
-0.0002
 0.0004
 0.0003
 0.0072
 0.0079
 0.0601
 1.5755
-0.6165
-0.0002

S =

-0.1620    0.3649    0.3363    7.1505

R =

1.0e+03 *

 0.0079    0.0601    1.5755   -0.6165

T =

 4.6340    0.5607   -0.0095         0         0         0         0

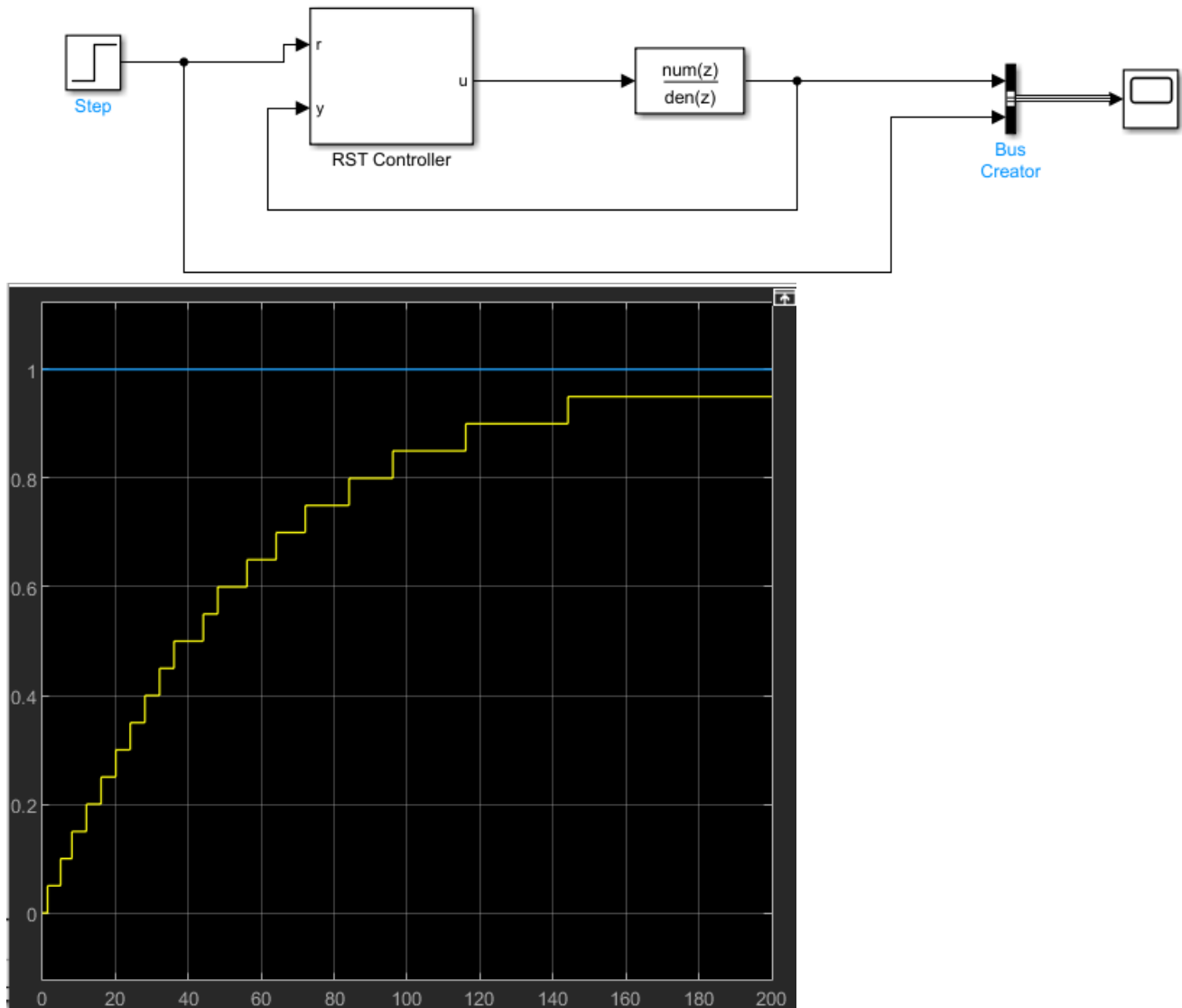
```

Pour avoir une réponse pile la fonction de transfert du système en boucle fermée doit être un polynôme de degré minimal :

On prend :

$$T(z^{-1}) = \frac{P(z^{-1})}{B(1)}$$

La simulation sur mathlab est :





## 8 Interprétation des différentes structures de commande

La comparaison entre les correcteurs se résume dans ce tableau :

	Stabilité	Erreur statique	Temps de réponse (seconde)	Dépassement
PID	stable	0	150	null
Retour d'état	stable	$\approx 0$	25	null
RST	stable	0	350	null

## 9 Conclusion

On peut conclure que les points forts de la commande PID sont : P : permet d'assurer une action instantané ,I : Annule l'erreur statique ,D : caractérisé par une action dynamique ,il permet d'améliorer la rapidité et il apporte une effet stabilisant. Mais , les méthodes les plus classiques de réglage de régulateurs PID (comme celles de Ziegler ont l'inconvénient de conduire à de trop grands dépassements sur une réponse à l'échelon et surtout de mal prendre en considération le problème de robustesse.Ce qui concerne La commande de retour d'état ,on trouve que la matrice de retour offre des degrés de liberté pour imposer un comportement dynamique au système et il permet de stabiliser le système s'il est instable en boucle ouvert. Et pour la commande RST ,il n'y a pas de restriction sur le retard du procédé il n'y a pas de restriction sur les zéros du procédé, car la méthode ne les compense pas ; ils peuvent être stables ou instables.